

---

## PERFE02 – Non régression du calcul de ténacité sur éprouvette CT de la plate-forme PERFECT

---

### Résumé :

Ce test valide les commandes utilisées par le module CT de la plate-forme PERFECT qui permet de simuler les effets d'irradiation sur les composants de réacteurs.

On s'intéresse ici à la ténacité d'un acier de cuve irradié.

On considère une éprouvette CT, composée d'un matériau élastoplastique, dont la courbe de traction est issue d'un calcul polycristallin (traité par le test PERFE01A), ou d'un calcul d'agrégat (traité par PERFE03A).

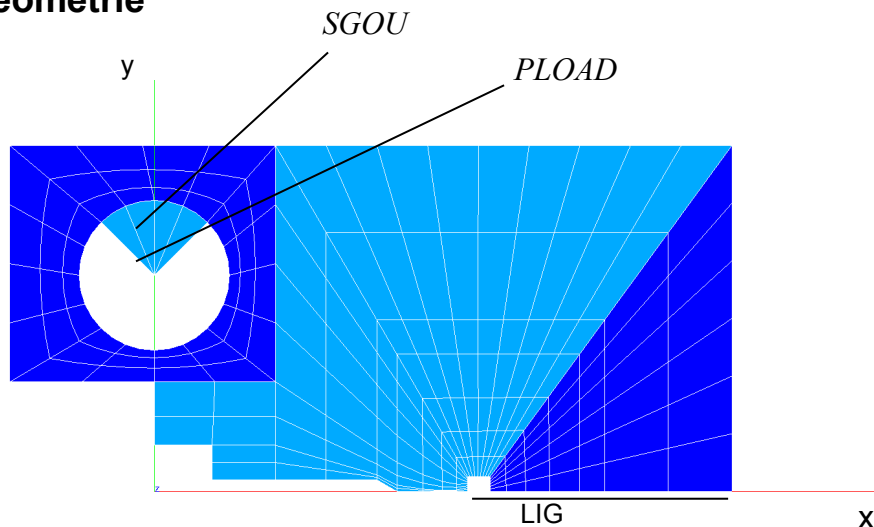
L'éprouvette CT est sollicitée par un chargement d'ouverture.

On effectue ensuite un calcul de probabilité de rupture (post-traitement de Beremin).

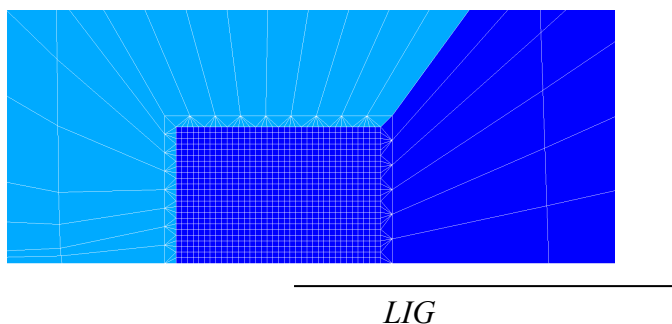
La modélisation A teste la courbe force-déplacement obtenue et la probabilité de rupture.

## 1 Problème de référence

### 1.1 Géométrie



L'éprouvette CT est représentée par le maillage ci-dessus, avec une zone très fine en fond de fissure :



La zone triangulaire *SGOU* située dans le trou circulaire permet d'appliquer l'effort d'ouverture de façon répartie, sans avoir à modéliser le contact unilatéral entre la goupille et l'éprouvette

### 1.2 Propriétés de matériaux

Le matériau composant l'éprouvette est élastoplastique, à écrouissage isotrope : **VMIS\_ISOT\_TRAC**, la courbe de traction étant fournie par un calcul homogénéisé de type *BZ* (voir test *PERFE01A*).  
Le matériau composant la goupille *SGOU* est considéré comme infiniment rigide.

### 1.3 Conditions aux limites et chargements

Nœud <i>PLOAD</i>	$DX = 0$
Nœuds du ligament	$DY = 0$
Nœud <i>PLOAD</i>	$FY$

Le chargement *FY* est croissant de 0 à 2915.0 N, en 25 incréments.

## 2 Solution de référence

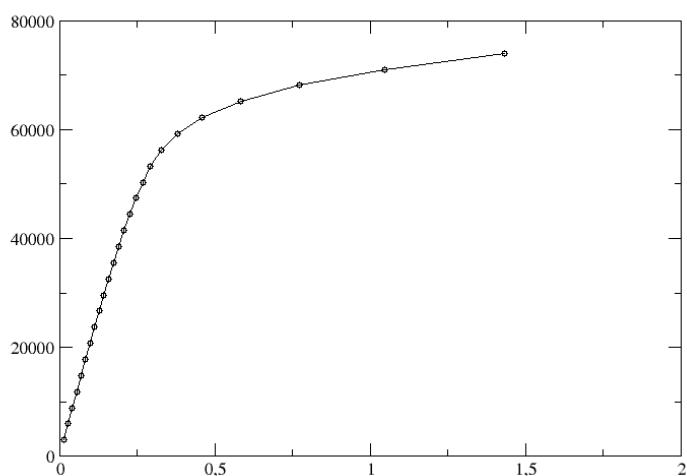
### 2.1 Méthode de calcul

Les tests sont de non-régression.

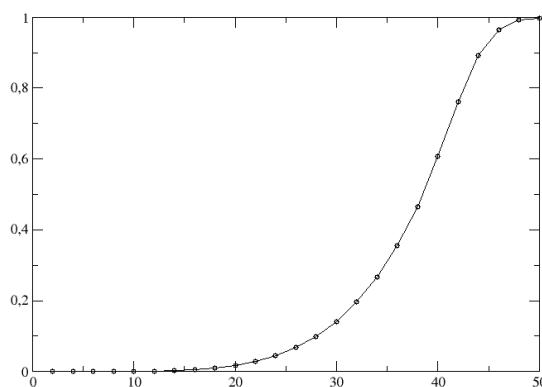
### 2.2 Résultats de référence

On teste la courbe force-déplacement obtenue, ainsi que la probabilité de rupture.

CT : courbe force-deplacement



Proba. rupture Weibull- Epreuve CT



## 3 Modélisation A

---

### 3.1 Caractéristiques du maillage

Nombre de nœuds : 3556.

Modélisation D\_PLAN : 1079 mailles QUAD8 et 111 mailles TRIA6.

### 3.2 Grandeurs testées et résultats.

Dernier point de la courbe force-déplacement ( *inst*=49.993923025 ) :

Identification	Référence	Aster	% différence
composante <i>DY</i> du champ <i>DEPL</i>	-	1.43159	Non régression
composante <i>DY</i> du champ <i>FORC_NODA</i> * largeur de la <i>CT</i>	-	74041.0	Non régression.

Probabilité de rupture de Weibull ( *inst*=49.993923025 ) :

Identification	Référence	Aster	% différence
PROBA_WEIBULL	-	0.998212	Non régression

## 4 Synthèse des résultats

---

Test de non régression.